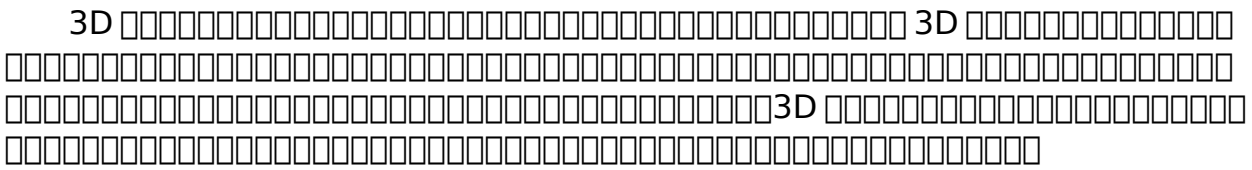

[illegible]

□□□□□ _____ □□□ _____

[illegible]

ABSTRACT

The application of 3D printing technology in the food machinery field is gradually expanding, providing new possibilities for the design and manufacturing of tofu drying machines. This paper explores innovative design solutions for an integrated tofu drying machine based on 3D printing technology, aiming to enhance production efficiency, reduce costs, and improve product quality. The design incorporates key components including intelligent mold systems, a triple grinder system, automated compression molding systems, precision cutting systems, and precision temperature-controlled drying devices. Through optimized structural design and material selection, the equipment demonstrates enhanced stability and adaptability. 3D printing technology not only shortens manufacturing cycles but also demonstrates unique advantages in customized production of complex components. This technological advancement not only drives the intelligent development of food machinery but also offers a new technical pathway for upgrading the tofu product industry.

Key Words: 3D printing technology;integrated tofu machine; modular design;automated control;food-grade materia



| | | |
|-------|------------------------|----|
| 1 | □□..... | 1 |
| 1.1 | □□□□..... | 1 |
| 1.1.1 | □□□□..... | 1 |
| 1.1.2 | □□□□..... | 1 |
| 1.1.3 | □□□□..... | 1 |
| 1.2 | □□□□□□..... | 1 |
| 1.2.1 | □□□□..... | 2 |
| 1.2.2 | □□□□..... | 2 |
| 1.3 | □□□□□□..... | 2 |
| 1.3.1 | □□□□..... | 2 |
| 1.3.2 | □□□□..... | 3 |
| 1.4 | □□□□□□..... | 3 |
| 1.4.1 | □□□□□□..... | 3 |
| 1.4.2 | □□□□□□..... | 4 |
| 1.4.3 | □□□□□□□□..... | 4 |
| 1.5 | □□□□..... | 5 |
| 2 | □□□□□□□□..... | 6 |
| 2.1 | □□□□..... | 6 |
| 2.1.1 | □□□□□□..... | 6 |
| 2.1.2 | □□□□□□□□..... | 7 |
| 2.1.3 | □□□□□□..... | 8 |
| 2.1.4 | □□□□□□..... | 9 |
| 2.1.5 | □□□□□□..... | 10 |
| 2.2 | □□□□□□□□□□..... | 11 |
| 2.3 | □□□□..... | 11 |
| 3 | 3D □□□□□□..... | 12 |
| 3.1 | 3D □□□□□□□□□□..... | 12 |
| 3.1.1 | 3D □□□□□□..... | 12 |
| 3.1.2 | 3D □□□□□□..... | 12 |
| 3.2 | 3D □□□□□□□□□□□□□□..... | 13 |
| 3.3 | □□□□..... | 14 |
| 4 | □□□□□□□□□□..... | 15 |
| 4.1 | □□□□□□..... | 15 |
| 4.2 | □□□□□□..... | 15 |
| 4.3 | □□□□□□..... | 17 |

| | | |
|------|--------------|----|
| 4.4 | □□□□□ | 18 |
| 4.5 | □□□□□□□ | 19 |
| 4.6 | □□□□□ | 20 |
| 4.7 | □□□□ | 21 |
| 5 | □□□□□□□□□□ | 22 |
| 5.1 | □□□□ | 22 |
| 5.2 | □□□□□□□ | 22 |
| 5.3 | □□□□□ | 25 |
| 5.3 | □□□□□ | 27 |
| 5.4 | □□□□□ | 29 |
| 5.5 | □□□□ | 31 |
| 6 | □□□□□□□□□□□□ | 32 |
| 6.1 | □□□□□□□□ | 32 |
| 6.2 | □□□□□□□□□ | 33 |
| 6.3 | □□□□ | 33 |
| □ | □ | 34 |
| □□□□ | | 35 |
| □ | □ | 37 |

1 □ □

1.1 □□□□

1.1.1 ☐☐☐☐

[illegible]

1.1.2 □□□□

3D 3D
3D 3D

1.1.3 □□□□

[illegible]

1.2 □□□□□□

1.2.1 □□□□

[illegible]1.2.2 ☐☐☐☐

2 □□□□□□□

2.1 □□□□

2.12 □□□□□□

YE2 - 90L4 1.5kW
 1.5kW

1 YE2

[illegible]

3

4 YE2-90L4



2.1 YE2-90L4 型

YE2-90L4 □□□□□□□□ 2.1 □□

□ 2.1 YE2 - 90L4 □□□□□□



图 2.2 QBY15-40 隔膜泵

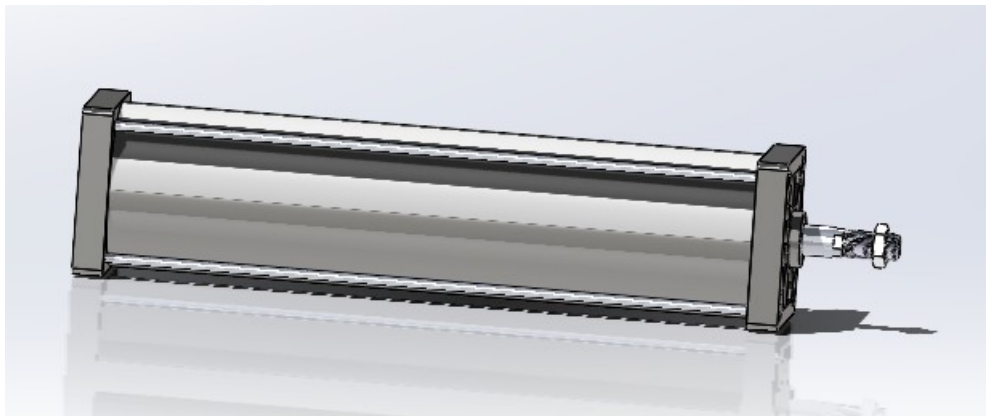
QBY15-40 隔膜泵主要性能参数 2.2 数据

表 2.2 隔膜泵 QBY15-40 主要性能参数

| 型号 | 口径 | 流量 | 扬程 | 行程 | 压力 | 温度 | 口径 | 重量 |
|----------|----|-------------------|----|----|---------|---------|-----|-----|
| 型号 | mm | m ³ /h | m | m | MPa | °C | mm | kg |
| QBY15-40 | 40 | 8 | 7 | 50 | 0.1-0.7 | -15-150 | 150 | 1.5 |

2.1.3 隔膜泵

SC200×800 800 mm 200 mm



2.3SC150X700

SC200X800 2.2

2.3 SC200x800

| | mm | mm | Nm | MPa | MPa | °C | N | mm/s |
|-----------|-----|-----|-----|-------|-----|--------|-----|--------|
| SC200x800 | 150 | 700 | 800 | 0.1-1 | 1.5 | -20-80 | 800 | 50-600 |

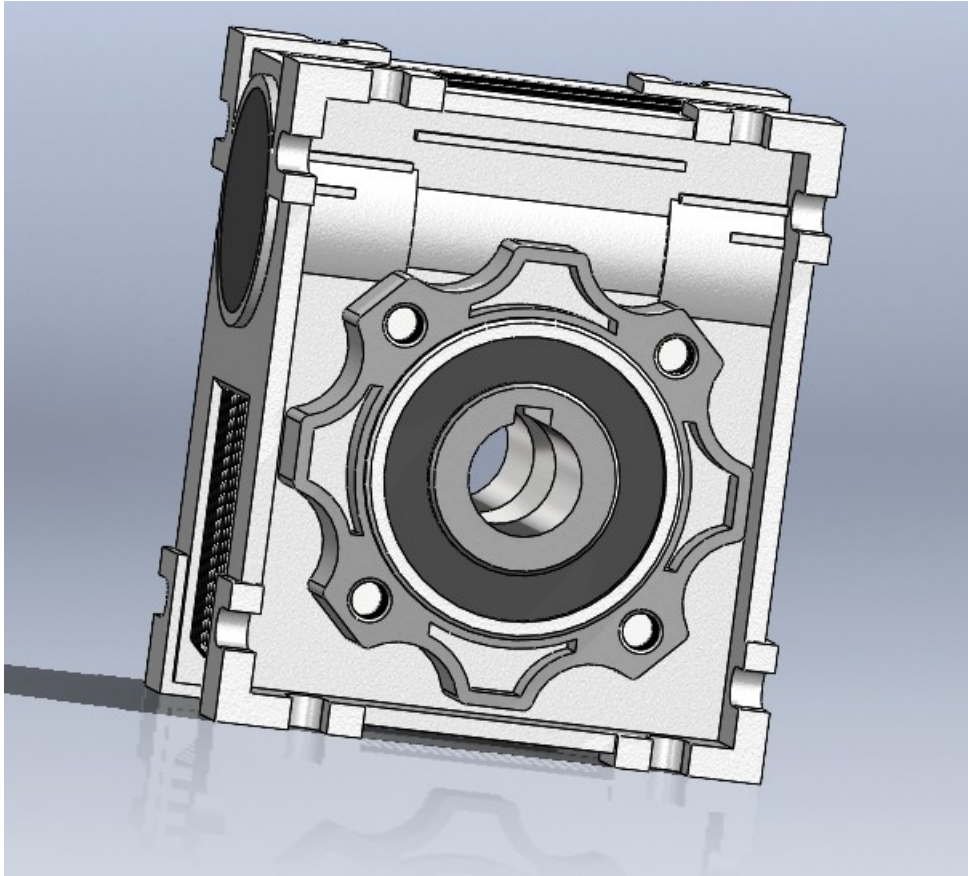
2.1.4

2.4 RV50

RV50

RV50

RV50



□ 2.4RV50 □□□

2.1.5 五五五五五

[illegible]

2.2 □□□□□□□□

[illegible]

000 000
000000000000000000**316** 000000000000000000000000000000000000000

[illegible]



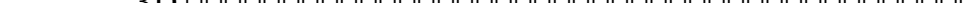
2.3 □□□□

[illegible]

3 3D □□□□□□

3.1 3D □□□□□□□□

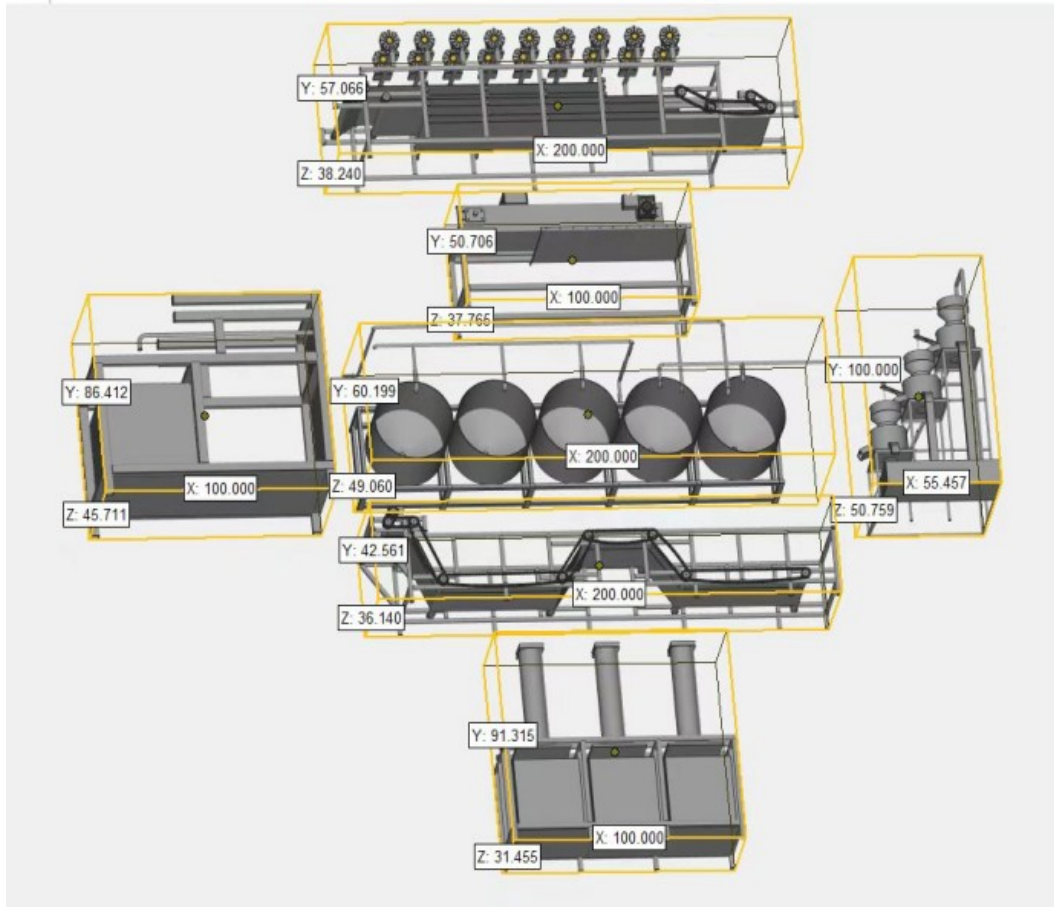
3.1.1 3D □□□□□□

3D  Error:
Reference source not found 


3D source not found
 Error: Reference source not found
 [6]

3.1.2 3D □□□□□□

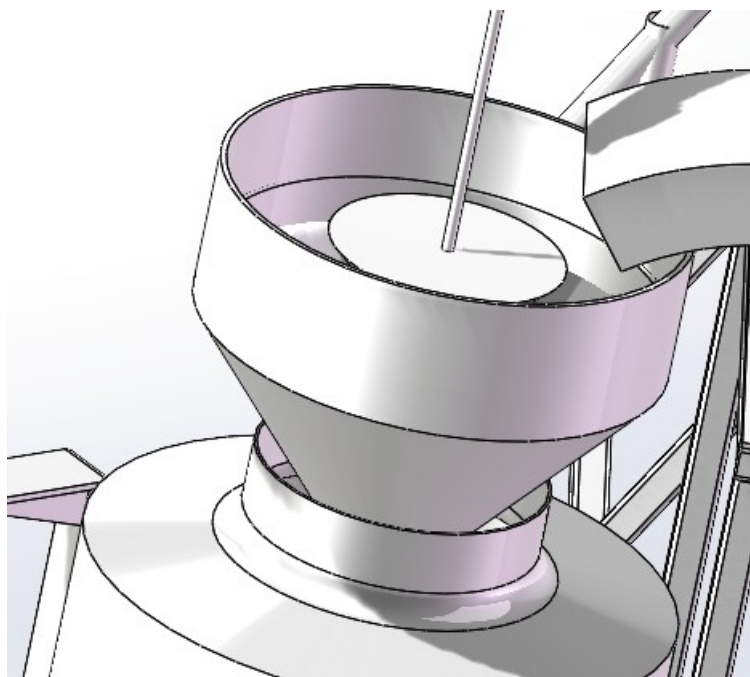
“3D 打印”是指利用粉末材料、AM 技术、RPM 等 3D 打印技术，通过逐层堆积的方式，将数字模型转化为实体模型的过程。



□ 3.13D □□□□□□□□

3.2 3D □□□□□□□□□□□□□□□□

3D 印刷技術は、従来の製造方法とは異なり、材料を積み重ねて立体形状を構築する。この技術は、医療分野で特に注目されており、患者の身体に合わせたカスタムメイドの部品や臓器の作成が可能になる。また、建築分野でも、複雑な形状の構造物を効率的に構築できる。3D 印刷の利点は、設計の自由度が高く、小ロット生産に適している点にある。しかし、材料の制限やコストの高さなどの課題も存在する。今後の技術革新により、これらの課題は克服され、3D 印刷はさらに普及すると期待されている。



4.3 数据流图

4.3 □□□□□□

SC150*700mm 1767N
50mm 300mm 3D

[illegible]

4.4 □□□□□

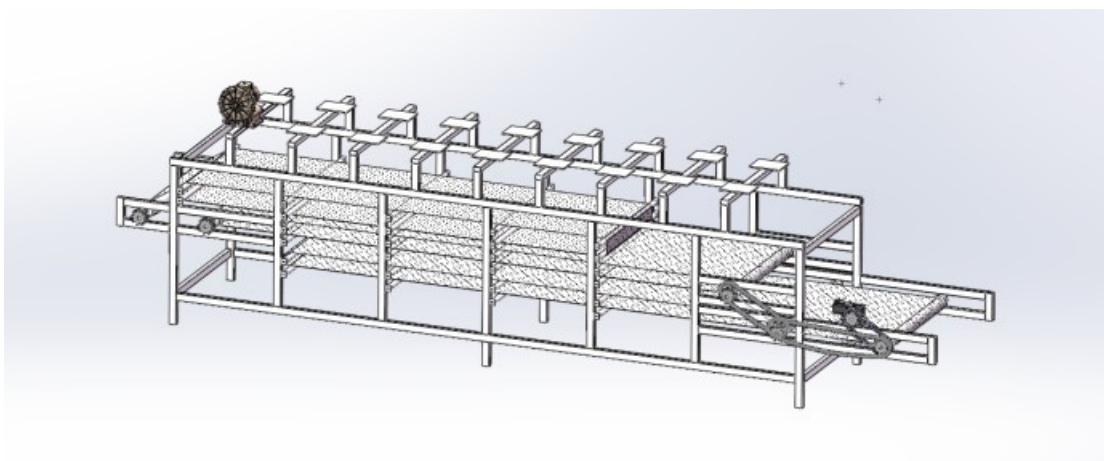
14

4.5 □□□□□□□□

PLC SBI K21 AD2
4 → SB2 kZ2 AD4 5 → SB3
SB4 K23 AD1AD3 45 → SB3
K23 AD1AD3 SB2 5

4.6 □□□□□

16



4.8

4.7 [illegible]

5 □□□□□□□□

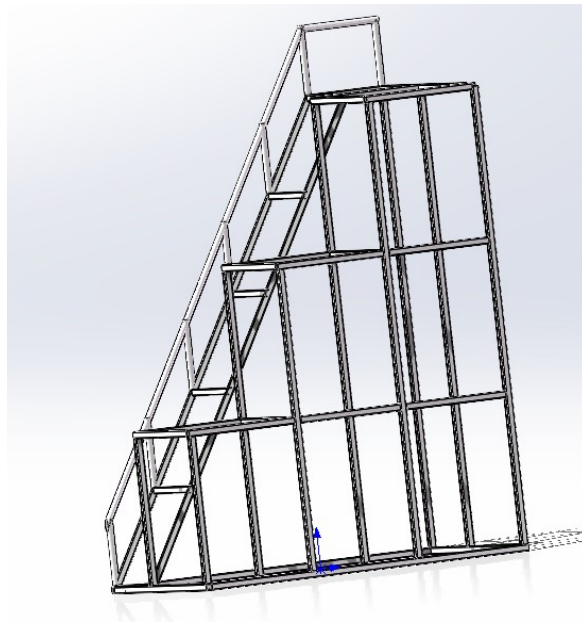
5.1 □□□□

Soildworks Soildworks
Soildworks Soildworks
Soildworks

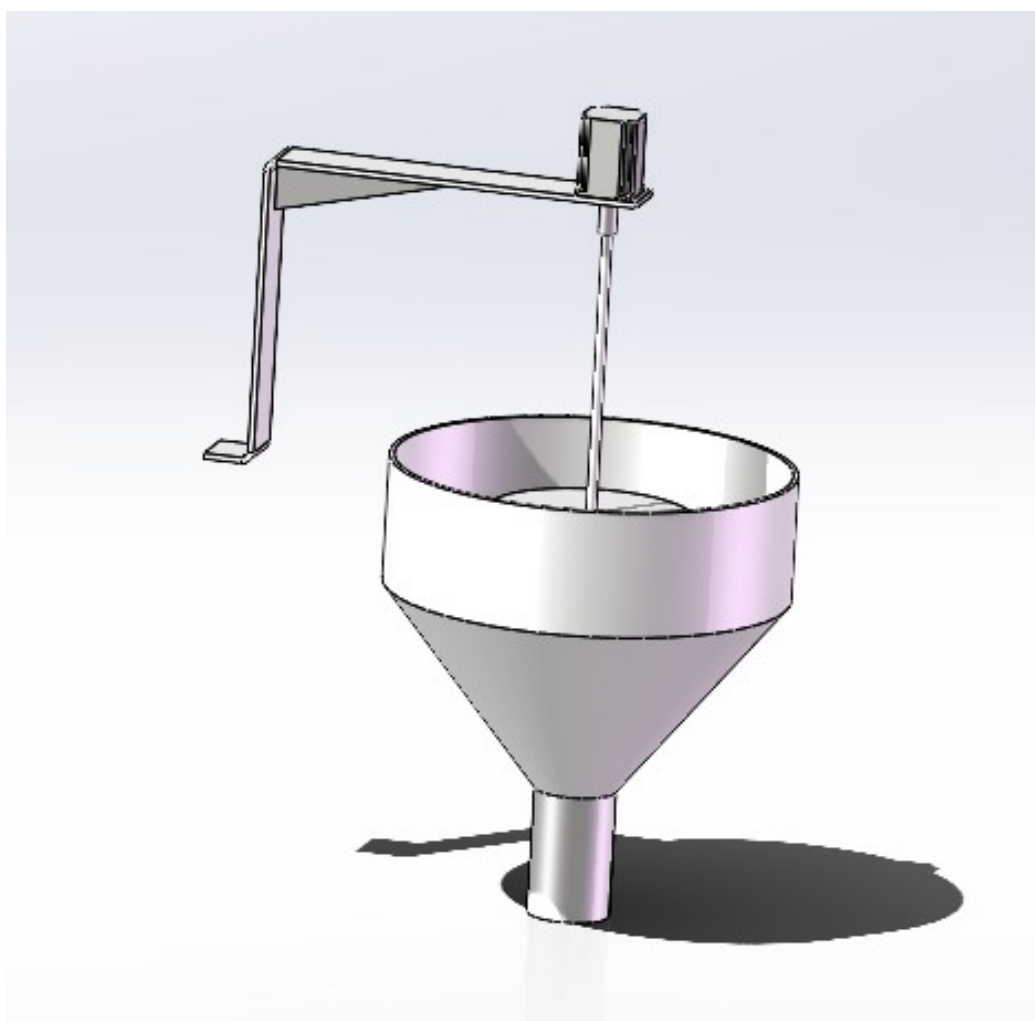
[illegible]

5.2 □□□□□□

5.1 SolidWorks



5.1 5.1



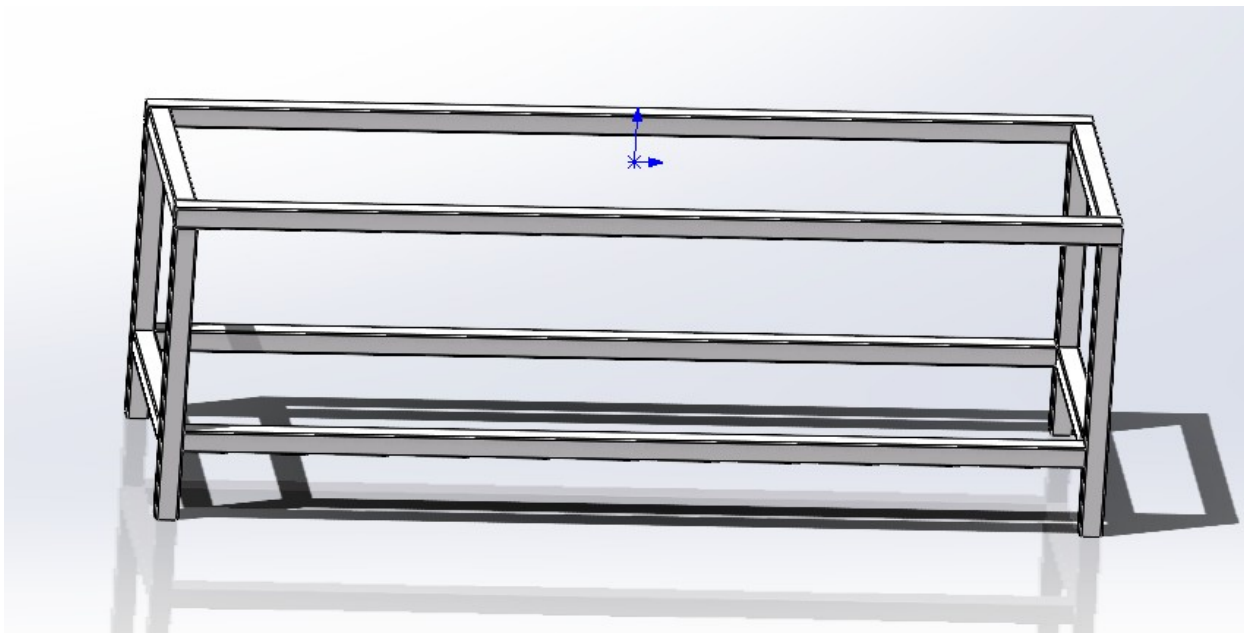
5.2 数据类型

[illegible]

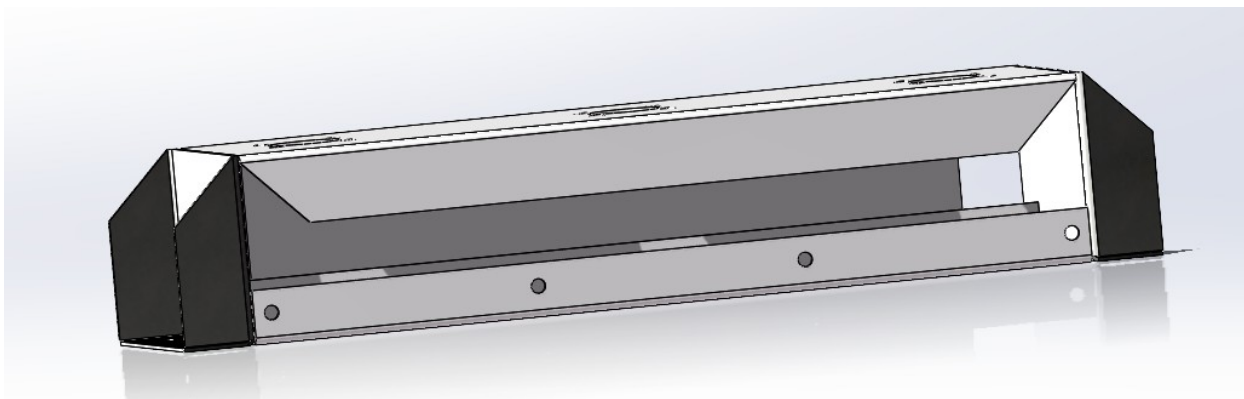
5.4 实验实验实验实验

5.3 □□□□□

SolidWorks 5.1

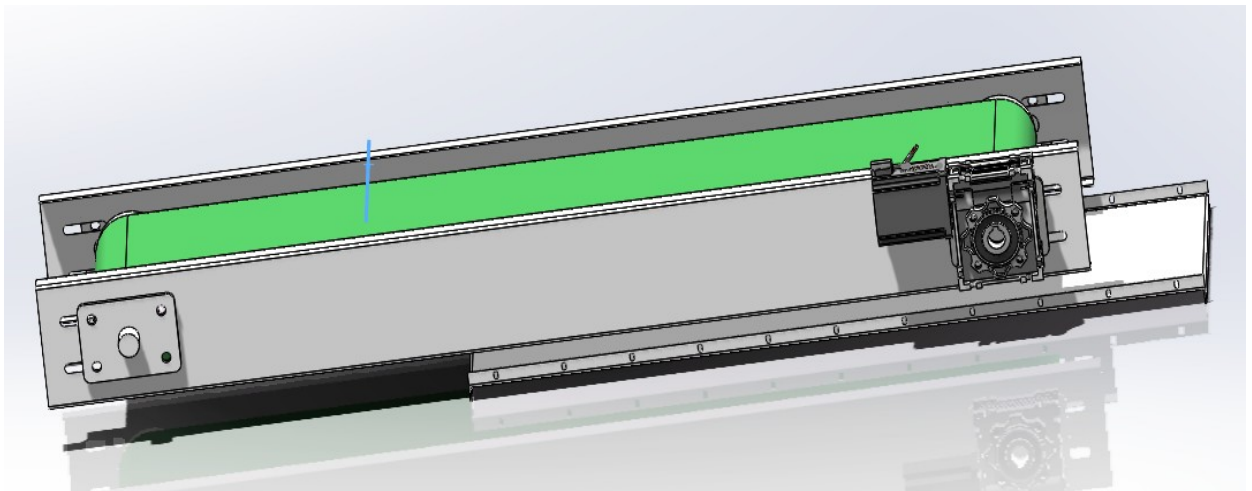


5.1 背景

[illegible]

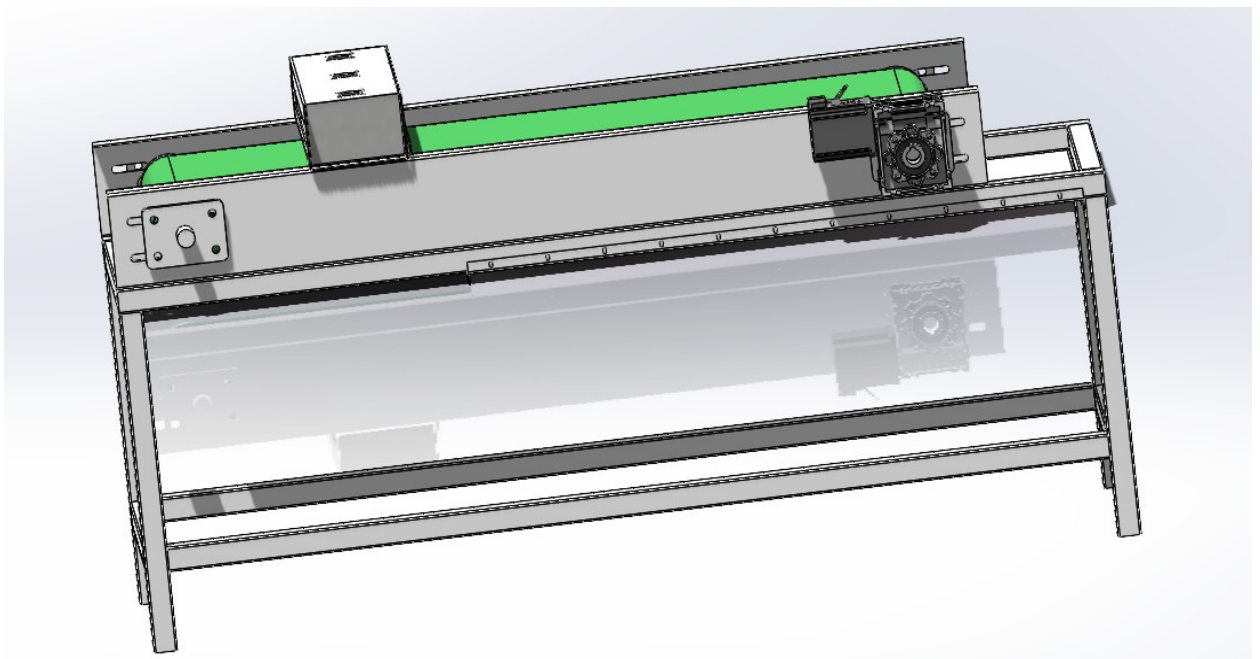
5.2 实验目的

[illegible]



□ 5.3 □□□□□□

□□□□□□□□□□□□□□□□□□ SW □□□□□□□□□□□□□□□□□□□□□□□□
□□

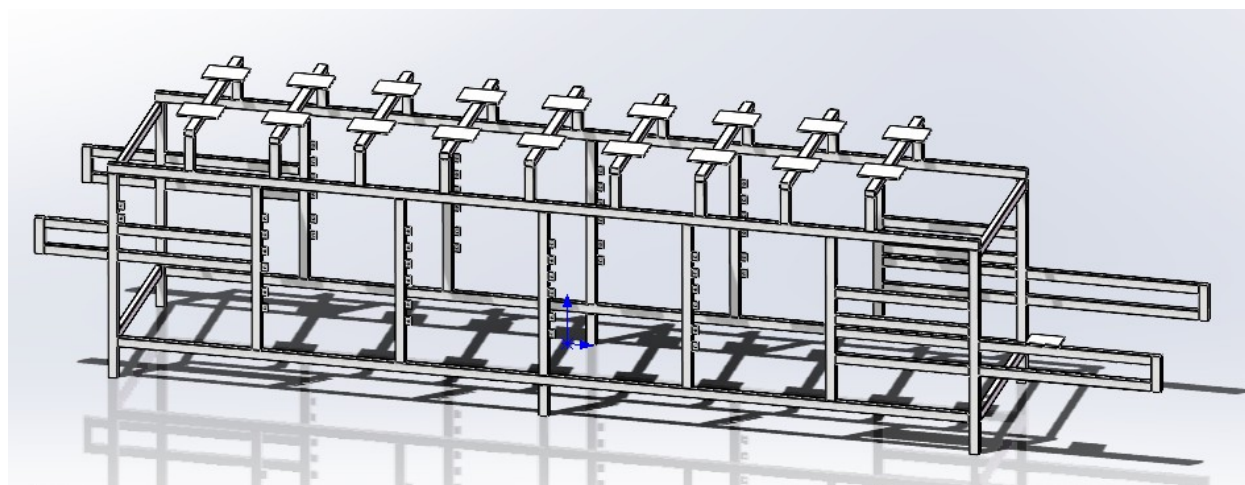


□ 5.4 □□□□□□

□□□
□□□□□□□□□□

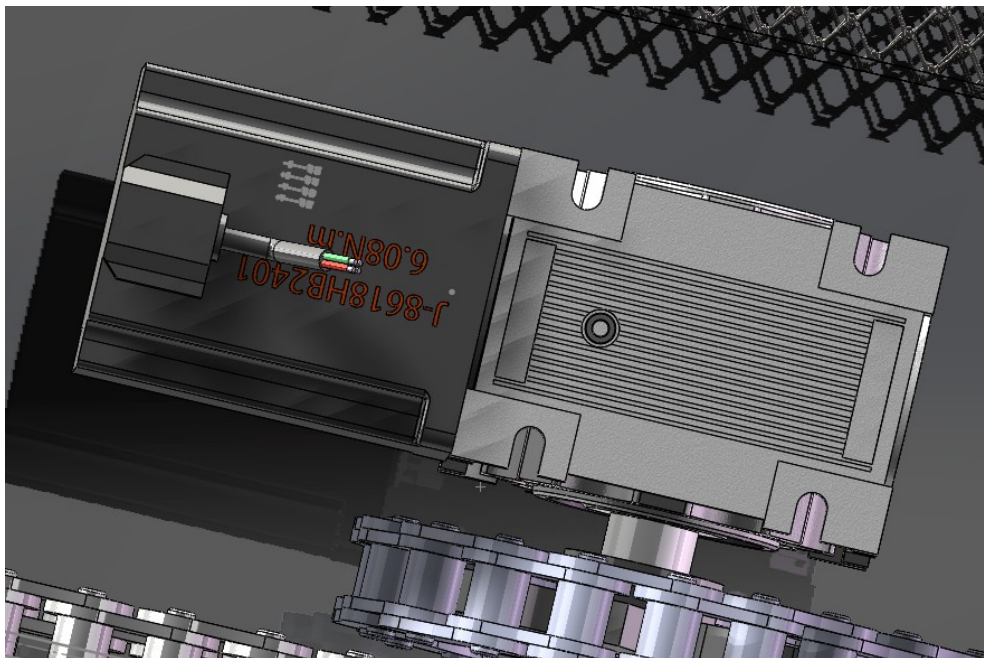
5.3 □□□□□

5.5



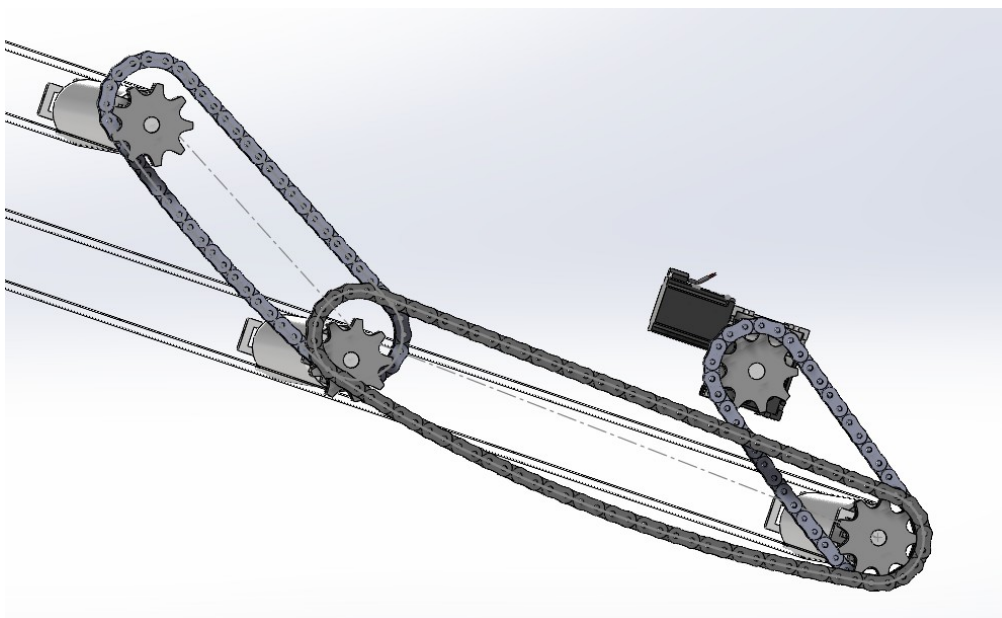
5.5 练习

Figure 5.6: A diagram illustrating the structure of a 2D array. The array is represented as a grid of cells. The first row is labeled 'Row 0' and the first column is labeled 'Column 0'. The array is divided into four quadrants by a horizontal and vertical line. The top-left quadrant is labeled 'Top-Left', the top-right 'Top-Right', the bottom-left 'Bottom-Left', and the bottom-right 'Bottom-Right'. The array is shown to be a 4x4 grid of cells.



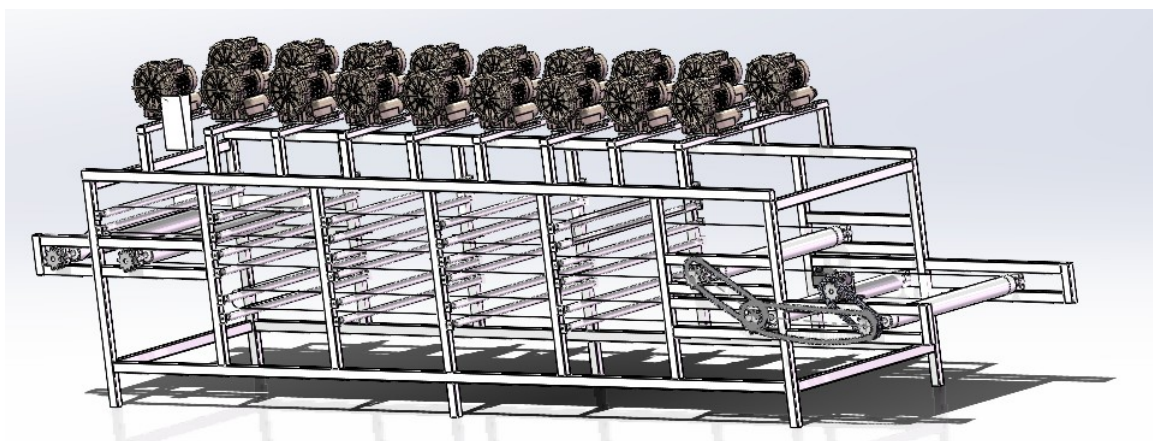
5.6 练习

5.3



5.7 练习

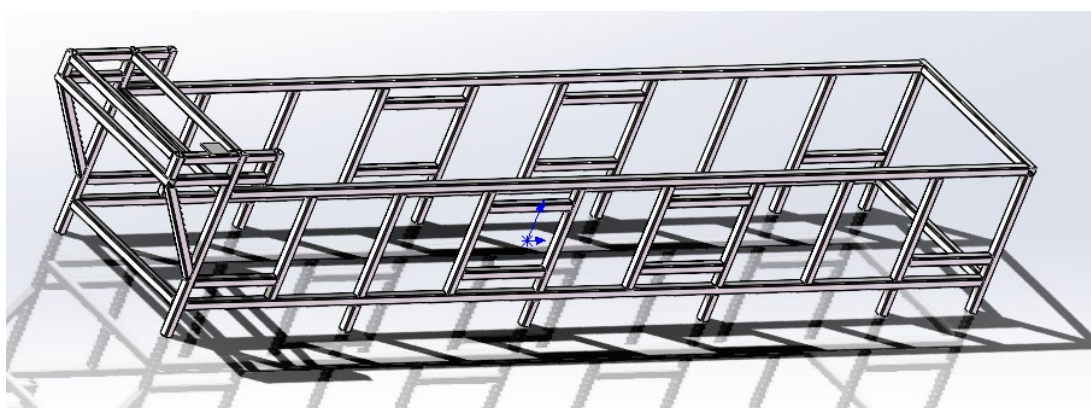
[illegible]



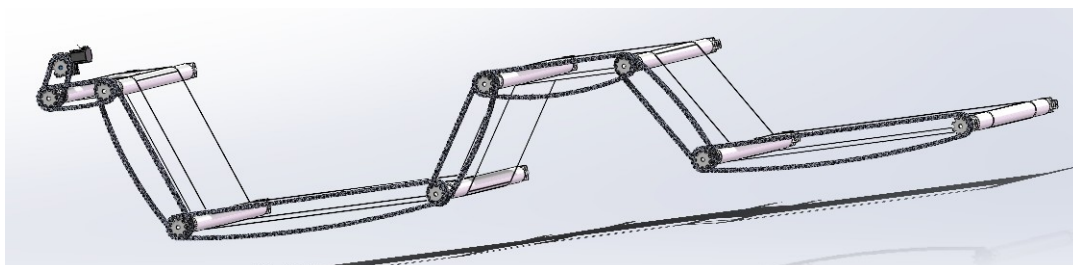
5.8 练习

5.4 □□□□□

Figure 5.9 shows SW performance results for the different configurations.



5.9 □□□□□

[illegible]

□ 5.10 □□□□□□

[illegible]

6 □□□□□□□□□□

6.1 □□□□□□□□

[illegible][illegible][illegible][illegible][illegible][illegible][illegible]

6.2 □□□□□□□□

PLC

6.3 结论

本文研究了3D打印技术在古建筑修复中的应用，通过对比传统修复方法与3D打印技术的优缺点，得出以下结论：

一、3D打印技术的优势

3D打印技术在古建筑修复中具有显著优势。首先，3D打印能够实现高精度复制，确保修复部件的尺寸和形状与原件一致。其次，3D打印材料种类丰富，能够满足不同材质的需求。此外，3D打印具有快速成型的特点，能够缩短修复周期。最后，3D打印技术能够实现复杂结构的打印，为传统工艺难以实现的部位提供解决方案。

二、3D打印技术的局限性

- [1] 3D打印技术在古建筑修复中的应用[J]. 建筑, 2019, 40(9): 172-175.
- [2] 3D打印技术在古建筑修复中的应用[J]. 建筑, 2023, 52(12): 91~93.
- [3] 3D打印技术在古建筑修复中的应用[J]. 建筑, 2024, 24(12): 134-136. DOI:10.13596/j.cnki.44-1542/th.2024.12.044.
- [4] 3D打印技术在古建筑修复中的应用[J]. 建筑, 2023, 52(12): 129~131.
- [5] 3D打印技术在古建筑修复中的应用[J]. 建筑, 2024, 54(6): 99-105.
- [6] “4.5+0.5”古建筑修复技术[J]. 建筑, 2021, 39(17): 48-50.
- [7] 3D打印技术在古建筑修复中的应用[J]. 建筑, 2025, 56(5): 183-185-189.
- [8] 3D打印技术在古建筑修复中的应用[J]. 建筑, 2022, (02): 56-57.
- [9] 3D打印技术在古建筑修复中的应用[J]. 建筑(建材), 2025, 8(1): 60-62.
- [10] 3D打印技术在古建筑修复中的应用[J]. 建筑, 2025(1): 183-186.
- [11] 3D打印技术在古建筑修复中的应用[J]. 建筑, 2019, 0(17): 42-42.
- [12] 3D打印技术在古建筑修复中的应用[J]. 建筑, 2024, 60(5): 30-32.

- [13] 王超. 3D打印技术在制造业中的应用 [M]. 机械工业出版社, 2022: 80-90.
- [14] 李强. 3D打印技术在制造业中的应用 [R]. 机械工业出版社, 2023: 20-30.
- [15] 王超, 李强, 王超. 3D打印技术在制造业中的应用 [J]. 机械工业出版社, 2017(12): 121-122.
- [16] 王超. 3D打印技术在制造业中的应用 [D]. 机械工业出版社, 2014.
- [17] Hod Lipson, Melba Kurman. Fabricated: The New World of 3D Printing [M]. USA: John Wiley & Sons Inc, 2013: 52-54.
- [18] 王超. 3D打印技术在制造业中的应用 [J]. 机械工业出版社, 2025(2): 148-151.
- [19] 王超, 李强, 王超. 3D打印技术在制造业中的应用 [J]. 机械工业出版社, 2017, (12): 121-122. DOI: 10.19475/j.cnki.issn1674-957x.2017.12.069.
- [20] 王超. 3D打印技术在制造业中的应用 [J]. 机械工业出版社, 2023, 4 (5): 67-73.

